

討26

制御圧延、制御冷却鋼の強度・靭性と微細組織

日本鋼管(株)技術研究所

稻垣 裕輔

1. 緒言

制御圧延、制御冷却鋼の顕微鏡組織形成に関する議論は、従来マクロなCCT線図にもとづいたものと並んで、変態の結晶学、形態学的見地に立脚した微視的な議論がほとんどなされており。エラスチック・パーライト変態は本来、核の生成、成長、衝突、変態界面における合金元素の分配濃化、母相の安定化という時間的にも空間的にも不均質な過程から構成されてしまうが、強加工した母相からの変態においては、(1)、母相が強い集合組織をもつ。(2)、方位によって変態速度が異なる。(3)、変態の方位関係の一端のバリエントのみが選択される。これらの条件が付加されたため、変態後の母相組織には強い優先方位をもつた結晶粒集団が不均質に分布した状態が作り出される。このような加工母相からえられる変態組織の結晶学的特徴と不均質性を十分考慮に入れなくては制御圧延、制御冷却鋼の变形、破壊のマクロな素過程を理解し得ないであろう。本論文では制御圧延、制御冷却鋼の顕微鏡組織形成過程を結晶学的に解明した結果を述べ、これにもとづいてこの鋼の強度、靭性を論じた。

2. 加工母相

制御圧延鋼の加工母相ともっとも特徴づけるものは、延伸や粒と「変形帶」である。図1において結晶粒を横断する2本の平行線では、これまでに発見当初は「変形双晶」とも呼ばれたが¹⁾、以後の多数の研究によって「変形帶」と断定され、以来10年間この名のもとに多数の解説も書かれこの名稱は確立定着した感がある。しかし図1と変形帶説の論拠としてしばしば引用されるBarrett²⁾の強加工したFeの変形帶の写真の間には何の類似性もないし、また変形帶と称すにはあまりにも境界がシャープで直線的でコントラストがはつきりしてしまっている。さらに図1で「変形帶」内部がたゞ一種類の直線性のよりマルテンサイト・バリエントで占められておりことも奇異な感じを与える。変形双晶は積層欠陥エネルギーの低い金属を低温で強圧延した場合に形成し、合金型母相圧延集合組織を発達させることとつながりがあることであるが、これらはリズムも制御圧延鋼の「変形帶」や集合組織の特徴とは合致しないので、これらは変形双晶ではない。むしろ「変形帶」は正延面から観察した場合黄銅の焼純双晶と酷似しており、中が広いこと、低圧下率で観察されるとリズムも考えると焼純双晶である可能性が強い。その実Bolling, Winegard³⁾が示した焼純双晶のすべてのタイプを制御圧延鋼においても確認できた。これらが母相の焼純双晶であることを結晶学的に証明することをこころみた。これは結晶方位がわざわざ試料において双晶面が観察面上に生ずる交線の傾角を測定すれば可能となる。

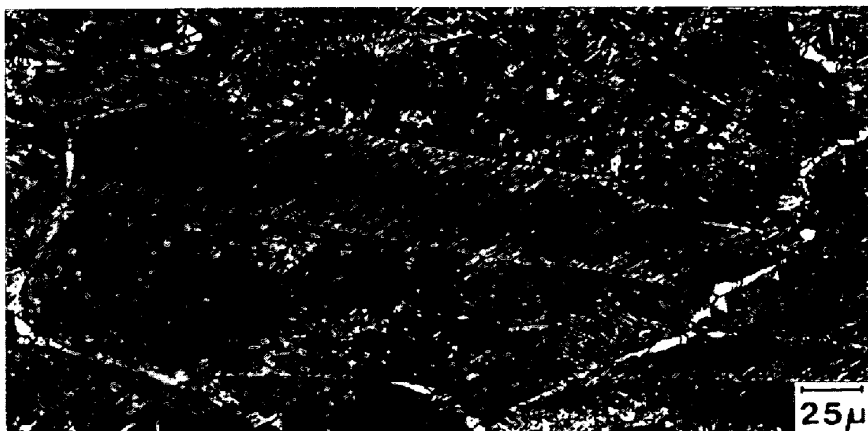


図1. 加工母相中の焼純双晶

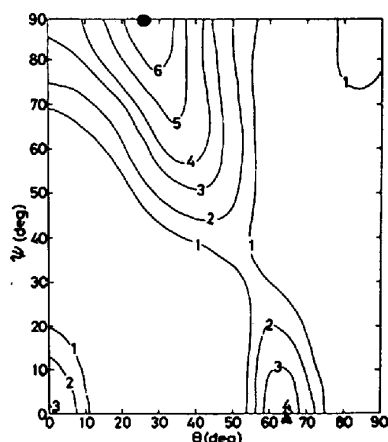


図2. 830°Cで12.5%圧延、水焼入れ後の集合組織($\phi=45^\circ$ 断面)
 ● {311}{011}, ▲ {332}{113}

制御圧延前から強い $\{332\}<113> + \{311\}<011>$ 集合組織をもつ $0.1\%C-1.3\%Mn-0.04\%Nb$ 鋼を $1150^{\circ}C$ に加熱後 $830^{\circ}C$ に冷却し 1 パスで 12.5% 圧延、水焼入れした。図3に示すように集合組織は制御圧延前と変りなかった。図3にこの試料の圧延方向に平行な断面 (longitudinal section) 上で測定した双晶境界と圧延方向のなす角度の頻度分布を示す。 α 相の $\{332\}<113>$, $\{311\}<011>$ 方位の母体は各々 γ 相の $\{110\}<112>$, $\{112\}<111>$ 方位であるから、これら γ 相方位の $\{111\}$ 双晶面が圧延方向に平行な断面上に生ずる交線が圧延方向となす角度を計算すると、 $\{112\}<111>$ 方位では $19.5^{\circ}, 35.3^{\circ}, 90^{\circ}$, $\{110\}<112>$ 方位では $30^{\circ}, 90^{\circ}$ (その他、双晶面と観察面が一致する解がある) となり λ 値になる。これらを図3の圧延率 12.5% の場合の実測角度分布と比較すると集合組織の広がりと 12.5% の变形を考慮すれば両者はよく一致しているといえる。同じ試料を $830^{\circ}C$ または $790^{\circ}C$ で圧延率を変えて 1 パス圧延し、双晶の挙動をしらべるとこれらが「変形帶」でないことがさらに明瞭になる。図4に示すように双晶密度は圧延温度に無関係に圧延率 30% まで急増し、以後生成しなくなる。この場合双晶は粒界に核生成し中を一定に保ちつつ長さ方向に成長し、粒界に衝突すると成長を停止する。図3に示す双晶の長さ、中、双晶境界が圧延方向となす角度の頻度分布から双晶は圧延率 30% 以上では圧延方向に向って傾斜、伸延され、高圧延率では圧延方向に平行になりやすくなることがあら。双晶境界近傍には不適合歪を生じ双晶境界上には多数のステップが形成される。これら焼純双晶は加工しない試料ではまれにしか見出されない。これらは圧延前からすでに存在してりて圧延変形を与えたと特定マルテンサイト・バリアントのみが選択されたため、あるいは双晶境界の整合性が失われたためコントラストが明瞭になり観察されやすくなるとされる考え方もある。しかし Cr, Ni 等積層欠陥エネルギーを下げるような元素をほとんどなくすなり低炭素鋼において焼純双晶が多発するとは考えがたい。むしろ粒界近傍の局所的应力集中が駆動力となってある種の粒界からこのような領域が形成され連続成長するようである。従来変形帶と考えてられたものの大部分は焼純双晶であつて本来の変形帶は、図5に示すものでは有りません。

3. 結晶方位分布

3. 1. 形成過程: $0.1\%C-1.6\%Mn-0.04\%Nb-0.08\%V$ 鋼を $800^{\circ}C$ で仕上圧延し空冷中の各温度から水焼入れしフェライト・パーライト変態の進行とともに方位密度の変化をしらべる。図6に変態率と方位密度の関係を示す。

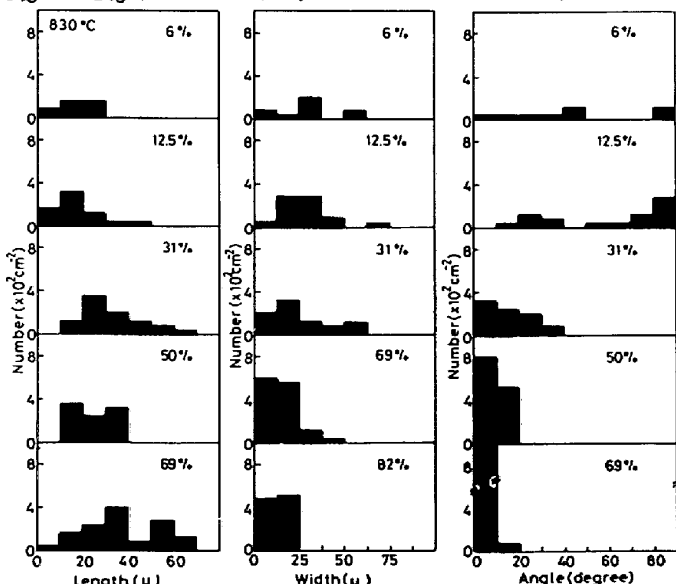


図3 $830^{\circ}C$ における圧延率と双晶の長さ、中、および双晶境界と圧延方向のなす角度の関係

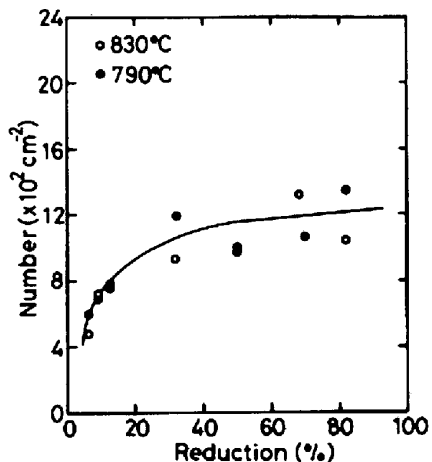


図4 圧延率と双晶密度の関係



図5 圧延面上で観察した場合の変形帶

変態初期には $\{332\}\langle 113 \rangle$, $\{311\}\langle 011 \rangle$ 両方位ともに急減する。これは γ 粒界に優先核生成したランダム方位の α 核の急速成長によって説明できる。すなはち、加工を加えないと場合も γ 粒界は初析 α の優先核生成サイトとなり少くとも片方のみ相と K-S の関係をもつ α 核が形成される。⁴⁾ 一方、加工した γ 相においては γ 粒界近傍は歪の適合条件を満足するために下粒内部とはことなり方位へ結晶回転し歪の高い状態にある。このため γ 粒界における α の核生成はさうに一段と促進されこの領域の変形の不均一性に対応しランダムな方位の核が形成される。これらは下粒内部とは K-S の関係になりたため下粒内部で急速成長できる。一方、変態後期には両主方位とも減少しなくなる。これは変態せずに残留してたり下粒内部の γ 相圧延主方位の部分がこれと K-S の関係にある歪の集合組織をもった α 相に変態するためである。後期に変態して α 粒は島状パーライトと共存するので容易に識別できる。これらは集合組織の主方位と対応し $\{100\}$ ~ $\{211\}\langle 011 \rangle$ 類似方位群からなる粗粒集団と $\{332\}\langle 113 \rangle$ ~ $\{111\}\langle 112 \rangle$ 類似方位群からなる細粒集団から構成されており、各集団は圧延方向に帶状に展伸していることがわかった。

3.2. 初期 γ 粒径の影響

初期 γ 粒径が大きい場合は変形時の粒界拘束効果が粒内まで浸透せず粒内と粒界近傍で変形、結晶回転がことなる。また粒界 α 核の数が少く成長距離が長いため非整合境界をもつ方位の成長が有利となる。これら二つの効果によって集合組織はランダムになる。一方、 γ 粒径が小さい場合は粒界の拘束効果は粒内まで浸透し変形の均一性が高く高圧延率の γ 相圧延集合組織がえられる。 γ 粒界の影響は本来変態しやすい $\{112\}\langle 111 \rangle$ 方位では小さく、変態しにくく $\{110\}\langle 112 \rangle$ 方位において顕著にあらわれる。このため後者から生成する $\{332\}\langle 113 \rangle$ 方位は $\{311\}\langle 011 \rangle$ 方位よりも初期 γ 粒径、圧延後の冷却速度の影響を受けやすい。

3.3. 焼純双晶境界の影響

変形を受けていき焼純双晶境界には α 核は生成しないが強圧延した場合は双晶境界も歪の適合条件を満足せねばならずその近傍は硬化し α 核の生成サイトとなる。圧延により双晶境界の表面積が増大することもこの機構による α 核の生成を促進する。この場合も双晶が位置する γ 粒の変態のしやすさと双晶境界における歪の適合条件に応じて α 核の生成が γ 粒界よりおそれ場合、 α 核が双晶の内側または外側のみに形成された場合などがあり得た。

3.4. 仕上温度の影響

(T+α) Z相域で仕上圧延するとすでに変態して α (その大部分は変態初期に γ 粒界に生成したランダム方位の α 粒である) は加工を受け α 相の歪延集合組織を形成し下部組織をふくむようになる。この

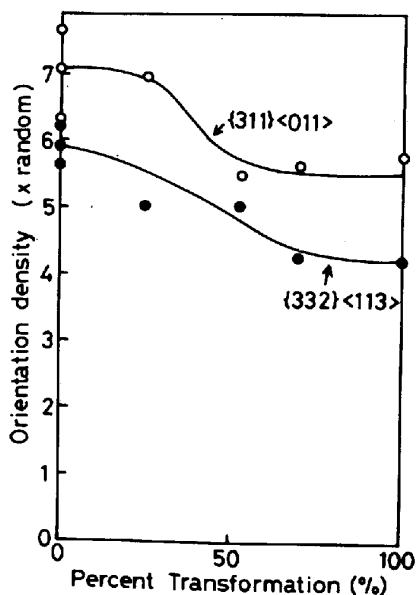


図6 フェライト・パーライト変態にともなう集合組織の変化

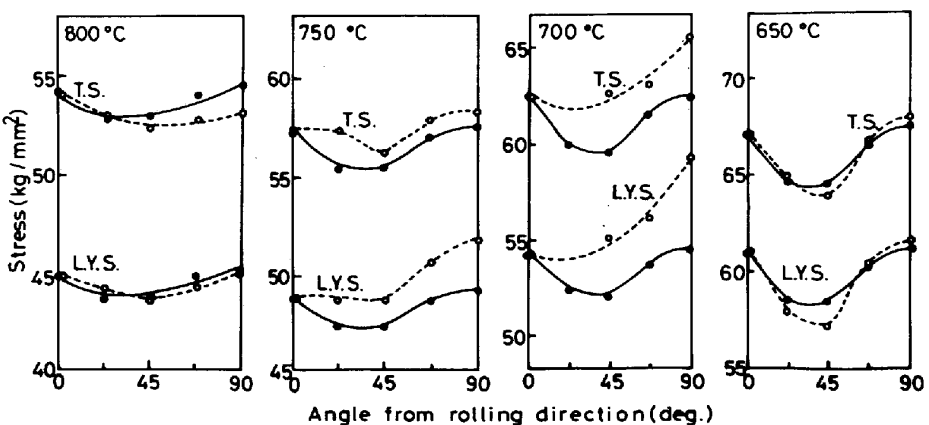


図7 集合組織から計算した降伏強度、抗張力の面内異方性(実線)と実測結果(破線)の比較(図中の温度は仕上温度を示す。)

場合(α相の方位によって下部組織の入りやすさはことなる。一方、未変態部すみうちで粒内部の強いα相圧延集合組織をもつ部分からはこれとK-Sの関係にある強い集合組織をもつた歪の少いα粒が生成される。0.1%C-1.3%Mn-0.03%Nb-0.07%V鋼を700°Cで仕上圧延した場合、歪の少いα粒は大部分が{111}~{332}<113>方位であり{311}<011>方位は少い。このことは前者の母相{110}<112>より後者の母相{112}<111>の方が変態しやすく⁵⁾より高温で変態を完了しさらに圧延变形を受けたことを意味するものと考えられる。このように方位によって変態速度がことなるために初期α粒径が大きの場合にはgrain by grain transformationが起り混粒組織を示す。このような形成機構を反映して(m+d)α相域圧延材では下部組織をふくむ部分とふくまない部分で結晶方位分布がことなる。

3. 5. 冷却速度の影響；合金元素量が低い場合は冷却速度をはやめると粒界初析αが十分成長する以前にα粒内部にγ核が生成するためには合金元素は均一に分配され集合組織は強い。合金元素量が高くなる場合はα粒内部はペーナイトやマルテンサイトに変態するが、その分散はγ核の分布によって支配される。

4. 強度、靄性

4. 1. 強度：集合組織からBishop-Hillの理論をもちいて計算した降伏応力の面内異方性と実測値はすこたな(α單相で仕上圧延した場合はよく一致するが)α相域で仕上圧延した場合は90°方向で実測値が計算値より高くなり一致せずである。図7は0.1%C-1.3%Mn-0.03%Nb-0.07%V鋼の例を示す。結晶粒形状、下部組織にはこの不一致を説明しうるほどの異方性はないが、α相域圧延材では下部組織をふくまない細粒の{111}類似方位群と下部組織をふくむ粗粒の{100}~{211}<011>類似方位群が圧延方向にバンド状に展伸し、バンド内ではky(Hall-Petch係数)が小さく、バンドごとに降伏応力がことなることを考慮する必要がある。

4. 2. 靄性：制御圧延鋼のセパレーションは極低S化、Ca添加による介在物形状制御をおこなっても消失しないことから集合組織に起因すると考えられ圧延面上平行な{100}面の集積度と関連づけて議論されてきた。しかしこの考へては同じ試料でも試験方向を変えて試験するとセパレーションの発生量が著しく変化する事実を説明できぬ⁶⁾。一方、最近セパレーションの発生をステンレス鋼のリジングと同じく類似方位集團が構成するバンド組織の塑性異方性によって説明しようとする試みがある⁶⁾。しかしこのモデルではセパレーションが試験方向が延性、板厚方向が脆性を示す温度域のみで発生するとリラ独特の温度依存性を説明できない。また同じ試料をα相域で圧延した場合よりもα單相域で圧延した方が集合組織は強いがセパレーションはカえって減少するとリラ事実も説明できぬ⁶⁾。これは單にバンド組織の結晶方位のみを考慮し、各々のバンドごとの方位によって結晶粒度、下部組織に大きな差異を有し、バンドごとに局所的な降伏応力、脆性破壊応力、延性がことなる事実を無視しているためである。

5. 結論

制御圧延、制御冷却鋼の顯微鏡組織は優先方位をもつて加工や相の方位ごとにことなった速度で変態するとリラマトリクス本来の変態とα粒界からのγ核の生成の競合過程によって形成される。前者の過程からは圧延方向に展伸した粗粒の{100}~{211}<011>類似方位領域と細粒の{332}<113>~{111}<112>類似方位領域が形成され、とくにα相域圧延した場合のこの種の鋼の強度、靄性に種々の特異性をもたらしている。

最後に、本研究の遂行にあたり終始、御教示御討論頂いた東京大学工学部阿部秀夫教授、焼純双晶に関する御討論頂いた京都大学工学部田村今男教授に深く感謝申し上げます。

6. 文献

- (1). 関野昌蔵、森直道、田向陵；鉄と鋼, 58(1972), p.1044. (2). C.S.Barrett; Structure of Metals, McGraw Hill, New York, 1952, p.372. (3). G.F.Bolling and W.C.Winegard; J.Inst.Metals, 86(1957/58), p.492.
- (4). A.D.King and T.Bell; Met.Trans., 6A(1975), p.1419 (5). H.Inagaki; Trans.ISIJ., 17(1977), p.166.
- (6). 松田昭一、川島善樹、岡口昭一、岡本正幸；鉄と鋼, 68(1982), p.435.